

ТЕОРИЯ УПРУГОСТИ

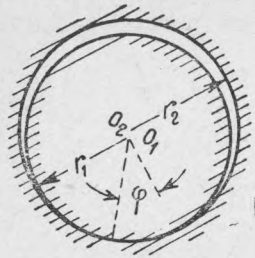
И. ШТАЕРМАН

**МЕСТНЫЕ ДЕФОРМАЦИИ ПРИ СЖАТИИ УПРУГИХ КРУГОВЫХ
ЦИЛИНДРОВ, РАДИУСЫ КОТОРЫХ ПОЧТИ РАВНЫ**

(Представлено академиком С. Л. Соболевым 26 VIII 1940)

В случае сжатия двух цилиндров, сумма кривизны которых весьма мала, теория Герца вследствие принятых им допущений становится неприменимой. Ввиду этого мы используем теорию, изложенную нами в предыдущей статье. Основное интегральное уравнение мы получаем непосредственно из следующих соображений.

Пусть r_1 и r_2 — радиусы сжимаемых цилиндров (фиг. 1).



Фиг. 1.

где l — длина цилиндров, которую мы будем предполагать весьма большой.

Если r, φ — система полярных координат с полюсом на оси внутреннего цилиндра, то можно приближенно положить:

$$[\bar{r} - \bar{\rho}(\bar{r})]_{\varphi} = 0, \quad [\bar{r} - \bar{\rho}(\bar{r})]_r = (r_2 - r_1) (1 - \cos \varphi). \quad (1)$$

В силу симметрии $\bar{\omega} = 0, \quad \bar{\alpha} = \alpha \bar{k}$.

Проектируя на радиальное направление векторы, входящие в уравнение (3) предыдущей статьи, получим:

$$u_{2r} - u_{1r} = \alpha \cos \varphi - (r_2 - r_1) (1 - \cos \varphi). \quad (2)$$

Поверхности цилиндров будем считать гладкими, так что $p_{\varphi} = 0$. Что касается внешнего давления, то так как перемещения u_{1r} и u_{2r} мало зависят от того, каким образом осуществляется действие внешних сжимающих сил, мы будем предполагать для простоты, что оно сводится для каждого из цилиндров к нормальному давлению, диаметрально противоположному давлению на поверхности давления. Тогда

$$u_{1r} = 2\delta_1 \int_{-\varphi_0}^{\varphi_0} p_r(\varphi') \left[\cos(\varphi - \varphi') \ln \operatorname{tg} \frac{|\varphi - \varphi'|}{2} + 1 \right] r_1 d\varphi' - \\ - \kappa_1 \int_{-\varphi_0}^{\varphi_0} p_r(\varphi') \sin |\varphi - \varphi'| r_1 d\varphi', \quad (3)$$

$$u_{2r} = -2\vartheta_2 \int_{-\varphi_0}^{\varphi_0} p_r(\varphi') \cos(\varphi - \varphi') \ln \operatorname{tg} \frac{|\varphi - \varphi'|}{2} r_2 d\varphi' + \\ + \alpha_2 \int_{-\varphi_0}^{\varphi_0} p_r(\varphi') \sin|\varphi - \varphi'| r_2 d\varphi',$$

где

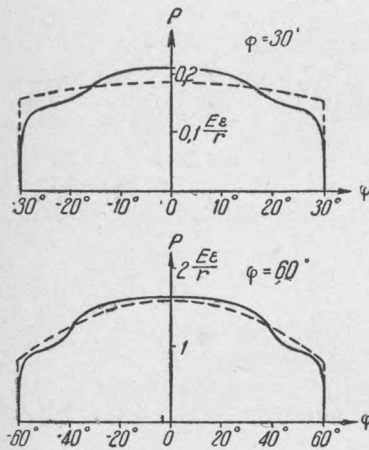
$$\vartheta_1 = \frac{\lambda_1 + 2\mu_1}{4\pi\mu_1(\lambda_1 + \mu_1)}, \quad \vartheta_2 = \frac{\lambda_2 + 2\mu_2}{4\pi\mu_2(\lambda_2 + \mu_2)}, \quad \alpha_1 = \frac{1}{4(\lambda_1 + \mu_1)}, \quad \alpha_2 = \frac{1}{4(\lambda_2 + \mu_2)},$$

$2\varphi_0$ — угол, под которым видна поверхность давления с оси внутреннего цилиндра. Поставляя (3) в (2), получаем уравнение:

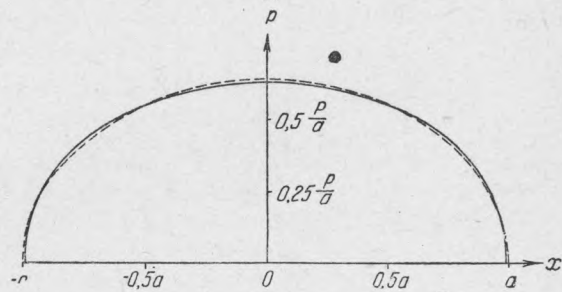
$$2(\vartheta_1 r_1 + \vartheta_2 r_2) \int_{-\varphi_0}^{\varphi_0} p_r(\varphi') \cos(\varphi - \varphi') \ln \operatorname{tg} \frac{|\varphi - \varphi'|}{2} d\varphi' - \\ - (\alpha_1 r_1 + \alpha_2 r_2) \int_{-\varphi_0}^{\varphi_0} p_r(\varphi') \sin|\varphi - \varphi'| d\varphi' + 2\vartheta_1 r_1 \int_{-\varphi_0}^{\varphi_0} p_r(\varphi') d\varphi' = \\ = -\alpha \cos \varphi + (r_2 - r_1)(1 - \cos \varphi). \quad (4)$$

Полагая в (4) $\varphi = 0$, находим:

$$\alpha = -2(\vartheta_1 r_1 + \vartheta_2 r_2) \int_{-\varphi_0}^{\varphi_0} p_r(\varphi') \cos \varphi' \ln \operatorname{tg} \frac{|\varphi'|}{2} d\varphi' +$$



Фиг. 2.



Фиг. 3.

$$+ (\alpha_1 r_1 + \alpha_2 r_2) \int_{-\varphi_0}^{\varphi_0} p_r(\varphi') \sin|\varphi'| d\varphi' - 2\vartheta_1 r_1 \int_{-\varphi_0}^{\varphi_0} p_r(\varphi') d\varphi'. \quad (5)$$

Подставляя (5) в (4), получаем интегральное уравнение:

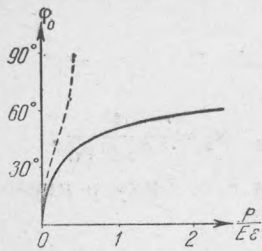
$$2(\vartheta_1 r_1 + \vartheta_2 r_2) \int_{-\varphi_0}^{\varphi_0} p_r(\varphi') \left[\cos(\varphi - \varphi') \ln \operatorname{tg} \frac{|\varphi - \varphi'|}{2} - \right. \\ \left. - \cos \varphi \cos \varphi' \ln \operatorname{tg} \frac{|\varphi'|}{2} d\varphi' - (\alpha_1 r_1 + \alpha_2 r_2) \int_{-\varphi_0}^{\varphi_0} p_r(\varphi') (\sin|\varphi - \varphi'| - \right. \\ \left. - \cos \varphi \sin|\varphi'|) d\varphi' + 2\vartheta_1 r_1 (1 - \cos \varphi) \int_{-\varphi_0}^{\varphi_0} p_r(\varphi') d\varphi' = (r_2 - r_1)(1 - \cos \varphi). \quad (6)$$

Это уравнение вместе с условием

$$\int_{-\varphi_0}^{\varphi_0} p_r(\varphi') \cos \varphi' r_1 d\varphi' = P \quad (7)$$

определяет давление $p_r(\varphi')$ и угол φ_0 .

Для того случая, когда оба цилиндра из одного материала с коэффициентом Пуассона 0,3, распределение давления по поверхности давления показано на фиг. 2. Приближенное решение интегрального уравнения (6) произведено по методу конечных разностей по 10 точкам. Решая тем же приемом и при том же количестве точек уравнение Герца, в которое вырождается уравнение (6) при малых значениях угла φ_0 , мы убедились, что погрешность весьма мала; на фиг. 3 показано получаемое при этом распределение давления по поверхности давления, пунктирной линией показано распределение давления, соответствующее точному решению уравнения Герца. Пунктирными линиями на фиг. 2



Фиг. 4.

показано распределение давления при плотном соприкосании тел по круговой цилиндрической поверхности радиуса r_1 под углом $2\varphi_0$, соответствующее тому же значению отношения $\frac{P}{r_1}$ и вычисленное по известной приближенной формуле:

$$P_r(\varphi) = \frac{P}{r_1(\sin \varphi_0 \cos \varphi_0 + \varphi_0)} \cos \varphi.$$

На фиг. 4 показана зависимость между углом φ_0 и сжимающей силой P . Пунктиром на той же фигуре показана зависимость между этими величинами, определяемая по теории Герца.

Поступило
26 VIII 1940